

لَهُمْ لِذَاتٍ مُّنْهَمَّةٍ



دانشکده فنی

پایان نامه کارشناسی ارشد

بهبود عملکرد حذف نویز (Rician) در تصاویر (MR)

از:

حسین گلشن مژده

استاد راهنما:

دکتر رضا حسن‌زاده پاک‌رضایی

تقدیم به خانواده عزیزم

که در تمام مراحل زندگی پشتیبانم بوده‌اند

تشکر و قدردانی

از زحمات بی دریغ اساتید گرامی جناب آقایان دکتر حسن زاده و مهندس شیر کوهی که در تمامی مراحل تحقیق با نظرات ارزنده خود مشوق و راهنمای من بودند نهایت سپاس گذاری را دارم.

از جناب آقای دکتر یوسف زاده ریاست محترم و کلیه پرسنل بخش رادیولوژی بیمارستان پورسینا که در تهیه تصاویر MR کلینیکی مساعدت فرموده و با نظرات تخصصی خود در ارتقا کار یاور من بودند کمال امتنان را دارم.

فهرست مطالب

عنوان	صفحة
فهرست شکل ها.....	۱
فهرست جداول.....	۵
فهرست علائم اختصاری.....	۶
چکیده فارسی.....	۷
چکیده انگلیسی.....	۸
فصل اول : مروری بر تصویر برداری تشdiid مغناطیسی(MRI) و بررسی عوامل کاهش کیفیت تصویر..... ۱	۱
۱-۱- مقدمه.....	۲
۱-۲- فیزیک MRI.....	۳
۱-۲-۱- پدیده تشdiid مغناطیسی هسته ای.....	۴
۱-۲-۲- آشکارسازی سیگنال MR.....	۴
۱-۲-۳- معادلات بلوخ و زمان های آسایش.....	۵
۱-۲-۴- ایجاد تصاویر MR با کتراست های مختلف.....	۷
۱-۲-۵- ایجاد تصویر T1.....	۷
۱-۲-۶- ایجاد تصویر T2.....	۸
۱-۲-۷- ایجاد تصویر PD.....	۹
۱-۲-۸- ایجاد تصویر FLAIR.....	۹
۱-۲-۹- مکان یابی در MRI.....	۱۰
۱-۳- شمای کلی اسکنر MRI.....	۱۲
۱-۳-۱- مگنت.....	۱۲
۱-۳-۲- کویل های ایجاد میدان گرددیان.....	۱۳

۱۴.....	RF-۳-۳-۱- کویل
۱۴.....	۱-۳-۴- سیستم گیرنده
۱۴.....	۱-۳-۵- سیستم کامپیوتوئی
۱۴.....	۱-۴- عوامل مؤثر بر کیفیت تصویر MR در رافتی
۱۴.....	۱-۴-۱- نسبت سیگنال به نویز (SNR)
۱۰.....	۱-۴-۲- کنتراست
۱۰.....	۱-۴-۳- رزولوشن فضایی
۱۶.....	۱-۴-۴- مصنوعات در تصاویر MR
۱۶.....	۱-۴-۵- مدل ریاضی نویز در MRI
۲۱.....	فصل دوم : معرفی معیارهای کمی و بانک اطلاعات MR مورد استفاده
۲۲.....	۱-۲- مقدار
۲۳.....	۲-۲- تصاویر MR شبیه سازی شده
۲۴.....	۲-۳- معادله تئوری ایجاد نویز رایسین بر روی تصاویر مرجع
۲۵.....	۲-۴- تصاویر MR کلینیکی
۲۵.....	۲-۵- معیارهای کمی
۲۵.....	۱-۵-۲- PSNR (dB)
۲۶.....	۲-۵-۲- SSIM
۲۸.....	۳-۵-۲- QILV
۲۸.....	۴-۵-۲- ضریب باتاچاریا (BC)
۳۰.....	فصل سوم : مرواری بر روش‌های ارائه شده در زمینه کاهش نویز و ارتقای کیفیت تصاویر MR
۳۱.....	۱-۳- مقدار
۳۲.....	۲-۳- راهکارهای کاهش نویز تصاویر MR
۳۲.....	۱-۲-۳- روش وابسته به فرآیند اخذ تصویر

۳۳.....	روش‌های پردازش سیگنال.....	۲-۲-۲-۳
۳۴.....	روش حداقل درست‌نمایی (ML)	۱-۲-۲-۳
۳۵.....	روش خطی حداقل میانگین مرربع خط (LMMSE)	۲-۲-۲-۳
۳۶.....	روش بازگشتی LMMSE (RLMMSE)	۳-۲-۲-۳
۳۷.....	NLM روش	۴-۲-۲-۳
۴۰.....	UNLM روش	۵-۲-۲-۳
۴۱.....	OBNLM روش	۶-۲-۲-۳
۴۳.....	RNRAD روش	۷-۲-۲-۳
۴۴.....	SRNRAD -۱-۷-۲-۲-۳	
۴۵.....	ORNAND-۲-۷-۲-۲-۳	
۴۷.....	DWST روش	۸-۲-۲-۳
۵۰.....	فصل چهارم : روش پیشنهادی.....	
۵۱.....	۴-۱- مقدمه.....	
۵۲.....	۴-۲- روش پیشنهادی.....	
۵۳.....	۴-۲-۱- توصیف الگوریتم.....	
۵۴.....	۴-۱-۲-۱- الگوریتم ۱.....	
۵۵.....	۴-۱-۲-۲- الگوریتم ۲.....	
۵۷.....	۴-۳- انتخاب فضای کاری و پارامترهای مناسب روش ارائه شد.....	
۵۷.....	۴-۳-۱- تعیین فضای کاری مناسب.....	
۵۷.....	۴-۳-۱-۱- شعاع پنجره جستجو (R_s).....	
۵۸.....	۴-۱-۳-۲- شعاع پنجره محاسبه گشتاورهای آماری (R_{sim}).....	
۵۹.....	۴-۱-۳-۳- شعاع پنجره محاسبه فاصله اقلیدسی (R_d)	
۶۰.....	۴-۲-۳- تعیین مقادیر مناسب برای پارامتر ها.....	

۶۰.....	σ_1^2 و μ_1 تعیین -۴-۳-۲-۱-۱
۶۲.....	۴-۳-۲-۲-۱-۱- تعیین پارامتر α (تعداد پیکسل های انتخابی روش A2 جهت انجام عملیات تخمین).
۶۳.....	۴-۳-۳- جمع بندی مقادیر مناسب پارامترهای روش پیشنهادی
۶۳.....	۴-۴- توسعه روش پیشنهادی
۶۳.....	۴-۴-۱- روش بازگشتی
۶۵.....	۴-۴-۲- استفاده از ایده چرخش (ROA2)
۶۶.....	۴-۵- تعمیم روش پیشنهادی به حالت سه بعدی
۶۶.....	۴-۵-۱- تعیین پارامترها در حالت سه بعدی
۶۸.....	فصل پنجم : شبیه سازی و مقایسه نتایج
۷۹.....	۱-۱- مقدمه
۷۰.....	۵-۱- بررسی عملکرد روش پیشنهادی در بازیابی تصاویر MR تخریب شده.
۷۱.....	۵-۲- ارائه نتایج کمی و کیفی
۷۱.....	۵-۳-۱- مقایسه روش های مختلف با پیاده سازی دو بعدی
۸۱.....	۵-۳-۲- مقایسه روش های مختلف با پیاده سازی سه بعدی
۹۱.....	۵-۴- ارزیابی روش های مختلف در بازیابی جزئیات ساختاری ظریف تصویر.
۹۳.....	۵-۵- مقایسه هزینه زمانی
۹۳.....	۵-۶- اعمال روش پیشنهادی بر روی تصاویر MR کلینیکی
۹۶.....	فصل ششم : نتیجه گیری و پیشنهادات
۹۷.....	۶-۱- نتیجه گیری
۹۸.....	۶-۲- پیشنهادات
۹۹.....	مراجع

فهرست شکل‌ها

عنوان	صفحه
شكل(۱-۱) بررسی رفتار مغناطیسی هسته اتم هیدروژن.....	۲
شكل(۱-۲) چرخش بردار گشتاور مغناطیسی M به دور میدان B_0 (فرکانس چرخشی لارمور).....	۴
شكل(۱-۳) ایجاد پدیده تشدید مغناطیسی و خارج شدن بردار مغناطش(M) از حالت تعادل و چرخش آن به دور میدان B_0	۵
شكل(۴-۱) اخذ سیگنال MR.....	۵
شكل(۴-۲) تصویر T1.....	۸
شكل(۴-۳) تصویر T2.....	۸
شكل(۴-۴) تصویر PD.....	۹
شكل(۴-۵) تصویر FLAIR.....	۹
شكل(۹-۱) نحوه انتخاب ناحیه مورد نظر جهت انجام فرآیند تصویربرداری.....	۱۰
شكل(۹-۲) نحوه کنترل ضخامت لایه مورد نظر.....	۱۱
شكل(۱۱-۱) ایجاد تصویر MR از روی اطلاعات حوزه فرکانس مکانی.....	۱۲
شكل(۱۲-۱) شمای کلی یک اسکنر MRI.....	۱۳
شكل(۱۳-۱) اثرات مصنوعی ایجاد شده ببروی تصویر.....	۱۶
شكل(۱۴-۱) نمایش مؤلفه‌های مختلف سیگنال MR.....	۱۷
شكل(۲-۱) نمایش سه بعدی ناحیه‌ای از بافت مغز.....	۲۳
شكل(۲-۲) نمایش برش‌های دو بعدی از یک ناحیه از بافت مغز در جهت‌های مختلف	۲۴
شكل(۲-۳) تصاویر تخریب شده مربوط به شکل (۲-۲) با نویز رایسین ($\sigma = 20$).....	۲۴
شكل(۳-۱) کاهش نویز حین فرآیند اخذ تصویر.....	۳۲
شكل(۳-۲) انتخاب یک ناحیه از پس زمینه جهت تخمین واریانس نویز.....	۳۵
شكل(۳-۳) نحوه عملکرد روش NLM.....	۳۸
شكل(۴-۳) نمایش روش OBNLM.....	۴۳
شكل(۴-۴) عملکرد نامطلوب روش LMMSE در لبه‌های تصویر.....	۵۲
شكل(۴-۵) بررسی عملکرد معیار (۱-۴) در انتخاب پیکسل‌های مشابه در تصویر.....	۵۴
شكل(۴-۶) تشریح روش پیشنهادی به صورت گرافیکی.....	۵۶
شكل(۴-۷) بررسی تأثیر شعاع پنجره جستجو بر روی عملکرد روش پیشنهادی.....	۵۸
شكل(۴-۸) بررسی تأثیر شعاع پنجره شباهت بر روی عملکرد روش پیشنهادی.....	۵۹
شكل(۴-۹) بررسی تأثیر R_d بر روی عملکرد روش پیشنهادی.....	۶۰
شكل(۷-۴) منحنی تراز معیارهای کتی (A1)، نسبت به تغییرات μ_1 و σ^2 در سطوح مختلف نویز.....	۶۱

- شکل(۴-۴) مقایسه عملکرد روش پیشنهادی با تغییر پارامتر μ_1 و σ_1^2 نسبت به تغییرات سطح نویز (بهترین انتخاب) و مقادیر ثابت $\alpha = 0.93$ و $\sigma_1^2 = 0.35$ (انتخاب جامع).....
۶۱
- شکل(۴-۵) منحنی تراز معیارهای کمی SSIM و PSNR(dB) نتیجه شده از الگوریتم A2، نسبت به تغییرات α و σ_1^2 در سطوح مختلف نویز.....
۶۲
- شکل(۱۰-۴) بررسی عملکرد روش بازگشتی و تخمین پویای واریانس نویز.....
۶۴
- شکل(۱۱-۴) نمایش نحوه عملکرد چرخش در یافتن وصله های مشابه در تصویر.....
۶۵
- شکل(۱۲-۴) بررسی تأثیر شعاع مکعب جستجو بر روی عملکرد روش پیشنهادی سه بعدی.....
۶۷
- شکل(۱-۵) مقایسه عملکرد معیارهای کمی PSNR و SSIM در تشخیص کیفیت تصویر.....
۷۰
- شکل(۲-۵) مقایسه روش های مختلف در بازیابی تصویر دوبعدی T1 نویزی در درصد نویزهای ۳٪ تا ۱۲٪.....
۷۳,۷۲
- شکل(۳-۵) مقایسه روش های مختلف در بازیابی تصویر دوبعدی T2 نویزی در درصد نویزهای ۳٪ تا ۱۲٪.....
۷۵,۷۴
- شکل(۴-۵) مقایسه روش های مختلف در بازیابی تصویر دوبعدی PD نویزی در درصد نویزهای ۳٪ تا ۱۲٪.....
۷۷,۷۶
- شکل(۵-۵) نمایش عملکرد روش های مختلف در بازیابی تصویر تخریب شده T1 با استفاده از پیاده سازی دوبعدی.....
۷۸
- شکل(۶-۵) نمایش عملکرد روش های مختلف در بازیابی تصویر تخریب شده T2 با استفاده از پیاده سازی دوبعدی.....
۷۹
- شکل(۷-۵) نمایش عملکرد روش های مختلف در بازیابی تصویر تخریب شده PD با استفاده از پیاده سازی دوبعدی.....
۸۰
- شکل(۸-۵) مقایسه روش های مختلف در بازیابی تصویر سه بعدی T1 نویزی در درصد نویزهای ۳٪ تا ۱۲٪.....
۸۳,۸۲
- شکل(۹-۵) مقایسه روش های مختلف در بازیابی تصویر سه بعدی T2 نویزی در درصد نویزهای ۳٪ تا ۱۲٪.....
۸۵,۸۴
- شکل(۱۰-۵) مقایسه روش های مختلف در بازیابی تصویر سه بعدی PD نویزی در درصد نویزهای ۳٪ تا ۱۲٪.....
۸۷,۸۶
- شکل(۱۱-۵) نمایش عملکرد روش های مختلف در بازیابی تصویر تخریب شده T1 با استفاده از پیاده سازی سه بعدی.....
۸۸
- شکل(۱۲-۵) نمایش عملکرد روش های مختلف در بازیابی تصویر تخریب شده T2 با استفاده از پیاده سازی سه بعدی.....
۸۹
- شکل(۱۳-۵) نمایش عملکرد روش های مختلف در بازیابی تصویر تخریب شده PD با استفاده از پیاده سازی سه بعدی.....
۹۰
- شکل(۱۴-۵) نمایش عملکرد روش های مختلف در بازیابی جزئیات ظریف تصویر.....
۹۲
- شکل(۱۵-۵) نمایش عملکرد روش پیشنهادی دو بعدی بر روی تصویر MR کلینیکی.....
۹۴
- شکل(۱۶-۵) نمایش عملکرد روش پیشنهادی سه بعدی بر روی تصویر MR کلینیکی.....
۹۵

فهرست جداول

عنوان	صفحه
جدول(۱-۱) مقادیر T1 و T2 برای بافت‌های مختلف بدن در میدان مغناطیسی T/۵.....	۷
جدول(۱-۴) مقادیر مناسب برای پارامترهای روش پیشنهادی A1 و A2.....	۹۳
جدول(۱-۵) مقایسه روش‌های مختلف در بازیابی پلاک MS مشخص شده در شکل (۱۴-۵) با استفاده از معیارهای کمی.....	۹۳
جدول(۲-۵) مقایسه هزینه زمانی روش‌های مختلف برای یک تصویر T1 با ابعاد 217×181	۹۳

فهرست علائم و نمادها

عنوان	صفحه
چگالی شار مغناطیسی در واحد سطح	B_0
بردار گشتاور مغناطیسی	M
ثابت ژیرومغناطیس	γ
فرکانس چرخشی لارمور	f_0
اندوكتانس مغناطیسی	Φ
تسلا(واحد چگالی شار مغناطیسی)	T
قسمت حقیقی سیگنال Y	Y_{Re}
قسمت موهومنی سیگنال Y	Y_{Im}
فرکانس زاویه‌ای	ω
واحد محور موهومنی	j
فاز سیگنال دریافتی	θ
ژاکوبین	J
تابع چگالی احتمال	P
تابع نمایی	exp
عملگر امید ریاضی	$E(\cdot)$
تابع بسل پیراسته نوع اول از مرتبه n ام	$I_n(\cdot)$
لگاریتم مبنای ۱۰	log
مجموع سری	\sum
حاصل ضرب سری	\prod
مقداری از پارامتر A که تابع f را ماکریم می‌کند	$\arg(\max_A(f(\cdot)))$

$\frac{\partial}{\partial t}(\cdot)$	عملگر مشتق جزئی
$div(\cdot)$	عملگر دیورژانس
$\nabla(\cdot)$	عملگر گرادیان
Var	واریانس محلی
$\psi_I(\cdot)$	پایه موجک
$mode$	مُد آماری

چکیده:

بهبود عملکرد حذف نویز (Rician) در تصاویر (MR).

حسین گلشن مژده‌ی

تصویربرداری تشدید مغناطیسی (MRI) که اساس آن بر پایه تشدید مغناطیسی هسته‌ای بنا نهاده شده، به عنوان یک تکنیک بارز در زمینه کاربردهای پزشکی مطرح است. به دلیل رزولوشن مناسب و فناوری کم ضرر، MRI در کاربردهای کلینیکی بسیار مورد توجه قرار گرفته است. کیفیت تصاویر MR نقش کلیدی‌ای در نحوه تشخیص پزشک ایفا می‌کند اما به دلیل ایجاد نویز حین فرآیند تصویربرداری، عمدتاً کیفیت تصاویر دریافتی کاهش می‌یابد. از این‌رو حذف نویز جهت ارتقای قابلیت تشخیصی و عملکرد موفق‌تر سایر تکنیک‌های کامپیوترا خود کار مانند بخشندی و کلاس‌بندی، بسیار مورد توجه قرار گرفته است. نویز موجود در تصاویر MR که منجر به کاهش کتراست تصویر شده و با ایاس وابسته به سیگنال ایجاد می‌کند، بهترین شکل با تابع توزیع رایسین مدل می‌شود. در این پروژه روش کارآمدی بر اساس تخمین گر خطی حداقل میانگین مربع خطای ارتقای کاهش نویز از تصاویر MR ارائه شده است. علاوه بر این از افزونگی اطلاعات موجود در تصاویر MR واقعی جهت ارتقای عملکرد تخمین گر در بازیابی مقدار سیگنال مطلوب استفاده می‌گردد. از آنجاکه در عمل تصاویر MR غالباً به صورت سه‌بعدی اخذ می‌شوند، روش طراحی شده علاوه بر حالت دو بعدی برای عملیات فیلترینگ سه‌بعدی نیز توسعه داده می‌شود. سپس عملکرد روش پیشنهادی با استفاده از معیارهای کمی و کیفی با تعدادی از روش‌های مطرح مربوطه مقایسه می‌گردد. نتایج آزمایشات مؤید عملکرد کاهش نویز مطلوب روش پیشنهادی در مقایسه با سایر روش‌های است. علاوه بر این، حفظ جزئیات ساختاری که از ارزش تشخیصی بالایی برخوردارند، از جمله‌ی مهمترین وظایف در پردازش تصاویر پزشکی است. نتایج و مقایسه‌های انجام شده برتری قابل ملاحظه‌ی روش پیشنهادی در برآورده کردن این مهم را تأیید می‌کند.

کلیدواژه: حذف نویز، بازیابی تصویر، تخمین گر خطی حداقل میانگین مربع خطای ارتقای عملکرد مغناطیسی، پردازش غیر

محلي، توزیع رایسین.

Abstract:

Enhance of Magnetic Resonance Images (MRI) in the Presence of Rician Noise.

Hosein Golshan Mozhdehi

Magnetic Resonance Imaging (MRI) is a notable medical imaging technique that makes of phenomenon of nuclear magnetic resonance. Because of the resolution and the technology being harmless, MRI has considered as the most desirable imaging technique in clinical applications. The visual quality of MRI plays an important role in accuracy of medical delineations that can be seriously degraded by existing noise during acquisition process. Therefore, denoising is of great interest for diagnostic aims and also the successive throughput of automatic computerized analysis such as segmentation and classification. Noise in Magnitude MRI is usually modeled by Rician distribution which introduces a signal-dependent bias and reduces the image contrast. In this thesis an efficient approach for enhancement of the noisy magnitude MRI based on the linear minimum mean square error (LMMSE) estimator is introduced. The natural redundancy of the acquired MR data is employed to improve the performance of unknown signal estimation. Since in practice, the MR data is in a large majority 3-D, the proposed method is developed to deal with 3-D MR volumes as well as 2-D MR images. The quantitative and qualitative metrics have been used to demonstrate and compare the performance of the introduced approach with several state-of-arts denoising schemes. Experimental results show the suitable denoising ability of the proposed method. Moreover, preservation and restoration of delicate structural details is a critical task in medical image analysis. The relative experiments show the superior performance of the proposed method in comparison with other denoising schemes in the case of restoration of delicate features.

Key-words: Denoising, Image restoration, Linear minimum mean square error, Magnetic Resonance Imaging, Non-Local processing, Rician distribution.

فصل اول

مرواری بر تصویر برداری تشدید

مغناطیسی (MRI) و بررسی عوامل

کاهش کیفیت تصویر

۱-۱- مقدمه

روش تصویربرداری تشید مغناطیسی (MRI^۱) بر اساس پدیده تشید مغناطیسی هسته‌ای (NMR^۲) که شاخه‌ای از علم فیزیک است، بنا نهاده شد [۱]. نخستین آزمایش موفقیت‌آمیز NMR در زمینه تشید مغناطیسی هسته‌ای اجسام جامد در سال ۱۹۴۶ توسط ادوارد پارسل^۳ و فلیکس بلوخ^۴ انجام گرفت [۲]. قریب دو دهه بعد، نخستین نظریه‌ها در مورد تصویربرداری تشید مغناطیسی بر پایه یافته‌های این دو فیزیکدان ارائه شد که منجر به ساخت نمونه‌های اولیه دستگاه MRI گردید. امروزه این تکنیک تصویربرداری پیشرفت شگرفی کرده و کاربردهای فراوانی در علوم شیمی، بیوشیمی و به خصوص پزشکی یافته است به طوری که می‌توان گفت در حال حاضر MRI به عنوان قدرتمندترین و پرکاربردترین تکنیک رادیولوژی در مقوله تشخیص بیماری و کاربردهای کلینیکی محسوب می‌گردد. علت استقبال از این روش را می‌توان در توانایی منحصر به‌فرد آن در ایجاد تصاویر با کنترast مطلوب از بافت‌های نرم بدن انسان و همچنین کم ضرر بودن آن (به علت عدم استفاده از پرتوهای یونیزاسیون^۵ مانند اشعه X که در بسیاری از تکنیک‌های تصویربرداری پزشکی کاربرد دارد) جستجو کرد [۳]. علاوه بر این توانایی MRI در ایجاد تصاویر مختلف (T1، T2، PD^۶ و FLAIR^۷) از یک بخش مشخص از بدن، منجر به افزایش قابل ملاحظه‌ی قدرت تشخیص پزشک می‌شود به گونه‌ای که امکان بررسی بسیاری از بیماری‌ها (مانند: ^۸MS و آلزایمر) که تاکنون مقدور نبوده را میسر می‌سازد.

در ادامه این فصل، در بخش ۱-۲ مفاهیم اصلی فیزیک MRI و همچنین انواع مختلف مکانیزم‌های ایجاد کنترast مورد بررسی قرار می‌گیرد. در بخش ۳-۱ شمای کلی یک اسکنر MRI ارائه می‌شود. عوامل مختلف مؤثر بر کیفیت تصویر و ایجاد نویز، همچنین ماهیت ریاضی نویز و نحوه مدل کردن آن در بخش ۴-۱ بررسی می‌گردد.

¹.Magnetic Resonance Imaging

².Nuclear Magnetic Resonance

³.Edvard Purcell

⁴.Felix Bloch

⁵.Ionization

⁶.Proton Density

⁷.Fluid Attenuated Inversion Recovery

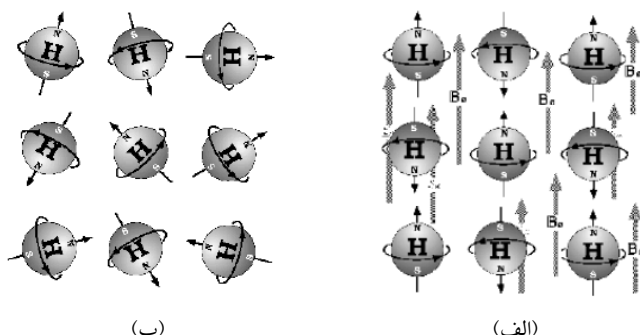
⁸.Multi Sclerosis

۱-۲- فیزیک MRI

۱-۱- پدیده تشدید مغناطیسی هسته‌ای

تمام مواد از مولکول‌ها تشکیل شده‌اند که آن‌ها نیز به‌نوبه خود شامل اتم‌ها هستند. اتم‌ها از هسته‌ای متتشکل از پروتون‌ها با بار الکتریکی مثبت و نوترون‌های خنثی ساخته می‌شوند که الکترون‌ها با بار الکتریکی منفی به‌دور هسته‌ی آن در حال چرخش هستند. هسته‌ها به‌علت دارا بودن بار الکتریکی دارای حرکت اسپینی^۱ (گردش به‌دور خود) می‌باشند که این امر منجر به ایجاد گشتاور مغناطیسی هسته‌ای می‌گردد [۴].

از آنجاکه عمدت‌ترین عنصر تشکیل دهنده‌ی بدن انسان هیدروژن است، در کاربردهای کلینیکی تصاویر MR با توجه به واکنش مغناطیسی هسته‌ی این اتم در برابر اعمال میدان مغناطیسی خارجی ایجاد می‌شود. هسته هیدروژن یک ذره باردار است و به‌علت دارا بودن حرکت اسپینی در اطراف خود باردار گشتاور مغناطیسی ایجاد می‌کند. در غیاب میدان مغناطیسی خارجی، باردار گشتاور مغناطیسی هسته‌ها در جهت‌های مختلفی قرار دارند و بر آیند کل آن‌ها تقریباً صفر است [۴]. در فرآیند تصویربرداری MR، فرد تحت یک میدان مغناطیسی خارجی B_0 که به‌وسیله هسته‌های مغناطیسی ابر رسانا ایجاد می‌شود، قرار می‌گیرد. نتیجه این عمل هم‌راستا شدن جهت باردار گشتاور مغناطیسی هسته‌های هیدروژن است. باردارهای گشتاور مغناطیسی هسته‌های با سطح انرژی پایین‌تر، هم‌جهت با میدان B_0 و بقیه در خلاف جهت آن مرتب می‌شوند [۵] (شکل ۱-۱)). غالباً تعداد هسته‌ها با سطح انرژی پایین‌تر بیشتر هستند که منجر به ایجاد بار مغناطیش^۲ برآیند (M) در جهت میدان مغناطیسی B_0 می‌گردد.

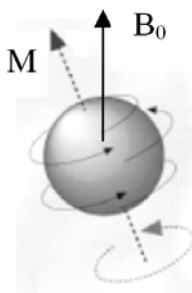


شکل (۱-۱) بررسی رفتار مغناطیسی هسته اتم هیدروژن. (الف) در حضور میدان خارجی B_0 . (ب) در حالت عادی [۵].

¹. Spin Rotation

². Magnetization

برآیند بردار گشتاور مغناطیسی و میدان مغناطیسی خارجی B_0 باعث چرخش بردار گشتاور مغناطیسی هسته به دور B_0 می‌گردد (شکل (۲-۱)). این چرخش با فرکانس مشخصی معروف به فرکانس لارمور^۱ انجام می‌گیرد است که به صورت $f_0 = \gamma B_0$ تعریف می‌گردد. فرکانس لارمور، B_0 شدت میدان مغناطیسی خارجی و γ ثابت ژیرو مغناطیس است که وابسته به ویژگی‌های هسته، مقداری ثابت دارد (برای هسته اتم هیدروژن در حدود $\text{MHz/T} = 42/58$ [۶]).



شکل (۲-۱) چرخش بردار گشتاور مغناطیسی M به دور میدان B_0 (فرکانس چرخشی لارمور).

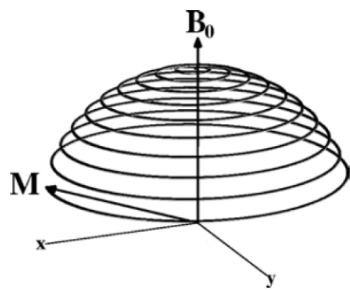
۲-۲-۱- آشکارسازی سیگنال MR

از آنجاکه در حالت تعادل اندازه بردار مغناطیسی هسته‌های اتم هیدروژن در مقابل میدان خارجی B_0 بسیار کوچک است، آشکارسازی آن امکان‌پذیر نیست [۷]. از این رو با اعمال میدان مغناطیسی متغیر دیگری عمود بر B_0 که با فرکانسی برابر با فرکانس لارمور به دور آن در حال چرخش است، بردار M از حالت تعادل خارج می‌شود. به دلیل آنکه فرکانس چرخش f_0 در محدوده امواج رادیویی قرار دارد و به صورت موقتی اعمال می‌گردد، به آن پالس RF^۲ گفته می‌شود.

نتیجه اعمال پالس RF جذب انرژی توسط هسته‌های هیدروژن و ایجاد پدیده تشیدید است. این امر منجر به خارج شدن بردار مغناطیس از حالت تعادل و گردش آن به دور میدان مغناطیسی B_0 با فرکانسی برابر با فرکانس لارمور می‌شود [۵]. شکل (۳-۱). فرآیند شرح داده شده را نمایش می‌دهد.

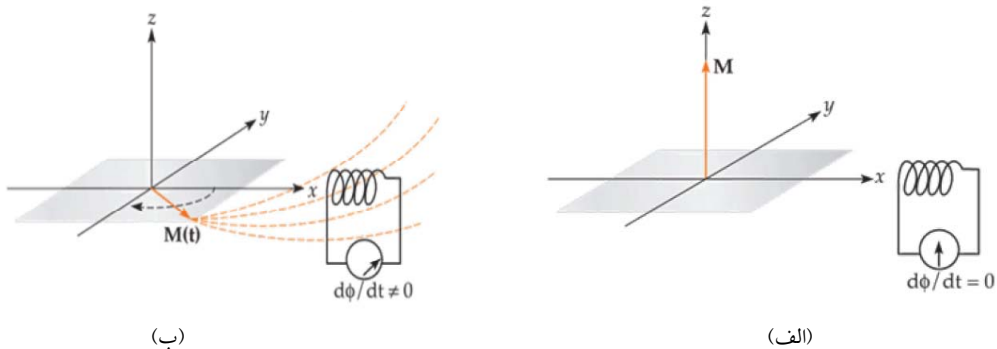
¹.Larmor Frequency

².Radio Frequency



شکل (۱-۳) ایجاد پدیده تشدید مغناطیسی و خارج شدن بردار مغناطش (M) از حالت تعادل و چرخش آن به دور میدان B_0 [۵].

پس از بروز پدیده تشدید مغناطیسی، بخشی از بردار مغناطش M یا تمام آن در صفحه متعامد بر میدان اصلی B_0 قرار می‌گیرد. این مولفه از بردار M به دلیل عدم همپوشانی با میدان مغناطیسی B_0 قابل آشکار سازی است و می‌توان با قرار دادن یک سیم‌بیج در نزدیکی آن مطابق شکل (۱-۴)، جریان القا شده را اندازه گیری کرد. به جریان بدست آمده از این فرآیند سیگنال MR گفته می‌شود [۶].



شکل (۱-۴) اخذ سیگنال MR. (الف) قبل از بروز پدیده تشدید. (ب) پدیده تشدید و القا سیگنال MR به سیم‌بیج گیرنده [۷].

۱-۲-۳- معادلات بلوخ و زمان‌های آسایش^۱

اتم‌های برانگیخته شده هیدروژن با قطع پالس RF انرژی خود را آزاد و به سمت حالت تعادل میل می‌کنند. در ابتدای این فرآیند امواج الکترومغناطیسی منتشر شده حداکثر میزان شدت را دارا می‌باشند اما با گذشت زمان چرخش اسپینی هسته‌ها به دلیل اختلاف

^۱. Relaxation Time